

## **CHAPITRE 1**

### **RÉSULTATS ET ANALYSE**

Les approches sélectives basées sur le MCB et le SDMCB ont été démontrées théoriquement au chapitre précédent. Maintenant, nous effectuons des essais pratiques afin d'attester des gains réalisables dans des conditions similaires à celles rencontrées par des applications de vidéo mobile. Dans ce chapitre, nous démontrons, non seulement l'efficacité des approches sélectives, mais aussi sa supériorité par rapport à l'approche de dissimulation utilisée par le décodeur inclus avec le logiciel de référence H.264/AVC JM.

À la figure 1.1, nous présentons, à titre d'exemple, des trames issues de la 726<sup>e</sup> sous-séquence de notre jeu de tests. Les composantes de notre banc d'essai, utilisé pour créer ce jeu de tests, sont expliquées à la section 1.1. L'image erronée (b) permet la visualisation du résultat obtenu par le décodage d'une tranche corrompue. Les probabilités de réussir un tel décodage sont présentées à la section 1.2. Tandis qu'à la section 1.3, nous mesurons les résultats obtenus de l'application de nos algorithmes de détection et dissimulation d'erreurs sur cette image. La trame qui précède l'erreur (a) ne contient jamais d'erreurs, une supposition posée aussi par (Superiori et al., 2007). Nous avons recours à cette trame comme source de contenu pour la dissimulation d'erreurs de la trame (b). La trame (c) est celle reconstruite à l'aide du calquage de la tranche de la trame précédente (a). Cette trame représente la solution d'un décodeur moderne, ce à quoi nous allons comparer nos dissimulations. La figure (d) est la trame de référence, qui n'a pas subi l'encodage. C'est la trame que nous utilisons pour mesurer le PSNR.

#### **1.1 Description du banc d'essai**

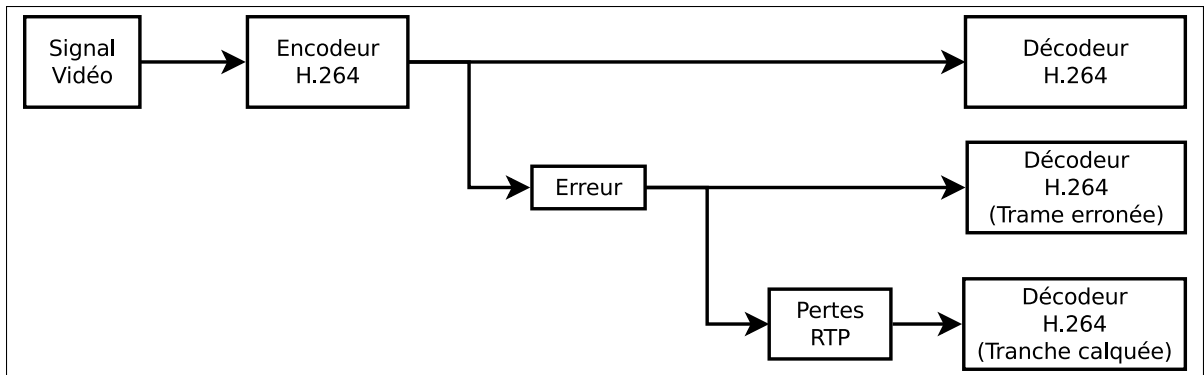
Afin d'étudier nos hypothèses sur la détection de la vraisemblance de régions d'images, nous avons construit un banc d'essai constitué d'un grand nombre de séquences vidéos soumises à des taux d'erreurs, similaires à ceux proposés dans l'ouvrage (Stockhammer et al., 2003). Ces



**Figure 1.1** Les trames résultantes de la sous-séquence #726 du jeu de tests (Séquence : Foreman, QP=16 BER=0.0008, FMO=Dispersé)

taux représentent les conditions présentes lors du transport de séquences vidéo H.264 vers des appareils mobiles.

Nous présentons, à la figure 1.2, les étapes de notre banc d'essai. En résumé, un signal vidéo est encodé puis décodé trois fois. La première opération de décodage décode les données sans que celles-ci soient exposées à l'erreur. Cette étape est cruciale afin de déterminer la dégradation visuelle engendrée par l'encodage du signal. Par la suite, la séquence encodée est sujette à un motif d'erreur binaire (*Bit Error Pattern*) gaussien. Les données corrompues sont envoyées au décodeur, s'il réussit à les décoder, celles-ci sont conservées, sinon la sous-séquence est



**Figure 1.2** Diagramme des étapes du banc d'essai

rejetée. En dernier lieu, la sous-séquence corrompue est analysée par un module de détection de pertes RTP (*RTP loss*). Celui-ci identifie et retire les paquets RTP corrompus. Les données résultantes de l'analyse de pertes RTP sont décodées. Lorsque le décodeur aperçoit un paquet manquant, il procède à utiliser une approche de dissimulation d'erreurs, soit en remplaçant la tranche manquante par son équivalent dans la trame précédente<sup>1</sup> (*slice copy*, traduit dans cet ouvrage par la locution tranche calquée).

Les séquences sont encodées et décodées à l'aide de la version 16.2 du logiciel de référence H.264/AVC JM (Joint Video Team (JVT) d'ISO/IEC MPEG et ITU-T VCEG, 2010). Ce dernier, n'étant pas un produit commercial, a pour objectif principal la démonstration de nouvelles fonctionnalités visant la norme H.264. Notre banc d'essai est constitué de sous-ensembles de quatre trames consécutives commençant à un emplacement aléatoire. Ces sous-ensembles débutent par une trame *intra* et trois trames *inter* (IPPP). Nous retenons cinq sous-ensembles pour chaque séquence de résolution QCIF contenue dans l'ensemble de séquences de référence de (Arizona State University, 2010).

**[LT]:** Définir QCIF dans la section transport de vidéo.

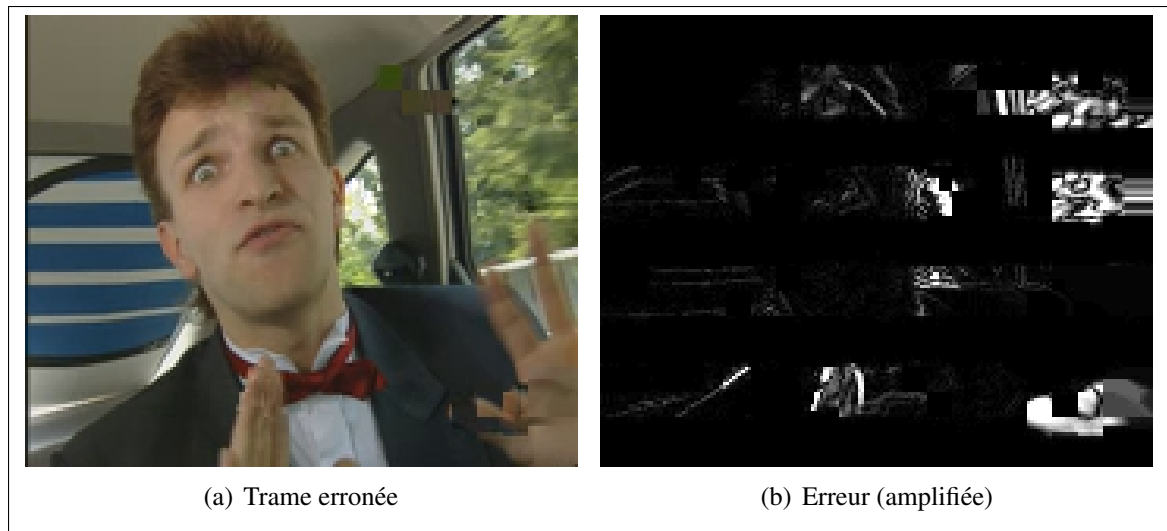
1. Dans cet ouvrage, *slice copy* a été utilisé au détriment de *motion copy*, car aucune implémentation fonctionnelle de *motion copy* était disponible. Nous avons eue des problèmes lors de l'utilisation de *motion copy* avec les versions 15.1 à 16.2 du décodeur inclus dans le logiciel de référence H.264/AVC JM. Ces problèmes sont connus et confirmés par plusieurs forums internet et catalogués dans le logiciel de suivi de problèmes Mantis relié au logiciel de référence H.264/AVC JM (Mantis JVT JM H.264/AVC reference software project, 2009). Quoique notre ouvrage est aussi compatible avec *motion copy*, c'est pour cette raison, que nous avons testé uniquement avec *slice copy*.

Dans le contexte d'applications mobiles, le débit est souvent fixe (64 kb/s, 128 kb/s...). Cependant, pour simplifier nos expérimentations, nous imposons un pas de quantification (QP) fixe. Ceci élimine les variations de PSNR dû aux changements de QP requis pour garder le débit fixe. Les indices de pas de quantifications sont : 16, 20, 24 et 28. Ces valeurs sont choisies, car elles représentent un intervalle de données plausibles pour une application mobile selon la bande passante disponible. De plus, nous n'avons pas retenu des QP trop élevés ( $>30$ ), car la quantité de bits requis pour encoder une trame est tellement faible qu'il arrive souvent, que les taux d'erreurs utilisés ne parviennent pas à briser un seul bit de la trame.

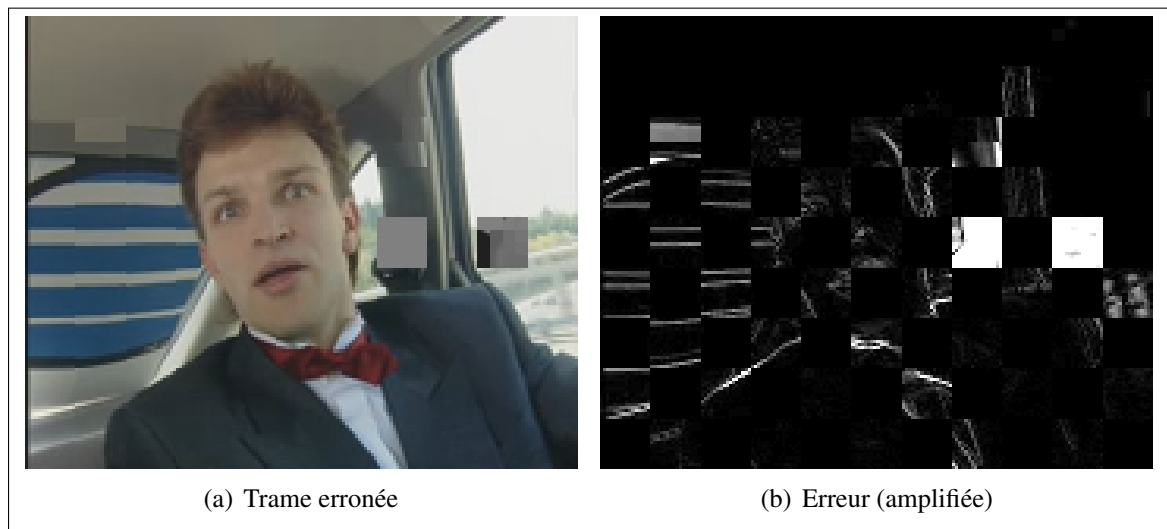
Les taux d'erreur binaire (BER) utilisés sont : 0.0004, 0.0008, 0.0016, et 0.0032. Cet intervalle de taux est considérablement large et agressif par rapport aux intervalles d'erreurs retrouvés dans la littérature de la norme H.264 (Stockhammer et al., 2003). Nous avons pris un tel intervalle pour obtenir des résultats témoignant des gains possibles dans un grand nombre de conditions d'erreur de transport. Le taux d'erreur utilisé est appliqué au niveau des bits et non pas au niveau des paquets (Wenger, 2003) ou des blocs (comme dans les ouvrages de dissimulation d'erreurs).

Seulement la troisième trame (une trame P) est exposée à l'erreur. En ce qui concerne l'ordonnancement de macroblocs flexible (FMO), deux types sont employés : dispersé (*dispersed*) et entrelacé (*interlaced*). Tous deux sont composés de deux tranches. À la figure 1.3 et 1.1, nous présentons deux exemples d'erreurs pour chacun des types d'ordonnancement. Les sous-séquences sont encodées à 30 images par seconde, tandis que les autres paramètres sont propres au profil de base (*baseline*) défini dans la norme H.264. Le format de sortie est RTP et la résolution est QCIF, c'est-à-dire  $176 \times 144$  pixels. Cependant, les en-têtes NAL et RTP n'ont pas été exposés à l'erreur.

Notre banc d'essai est constitué d'un jeu de tests de 2720 sous-ensembles de trames, Plus précisément, 1360 trames dispersées et 1360 trames entrelacées. Dans la prochaine section, il sert à déterminer la résilience du décodeur inclus dans le logiciel de référence H.264/AVC



**Figure 1.3** Exemple de l'erreur présente dans la sous-séquence #392 du jeu de tests  
(Séquence : Carphone, QP=16 BER=0.0032, FMO=Dispersé)



**Figure 1.4** Exemple de l'erreur présente dans la sous-séquence #1752 du jeu de tests  
(Séquence : Carphone, QP=16 BER=0.0032, FMO=Entrelacé)

JM. À la section 1.3, il est utilisé pour valider nos approches sélectives de détection et de dissimulation d'erreur.

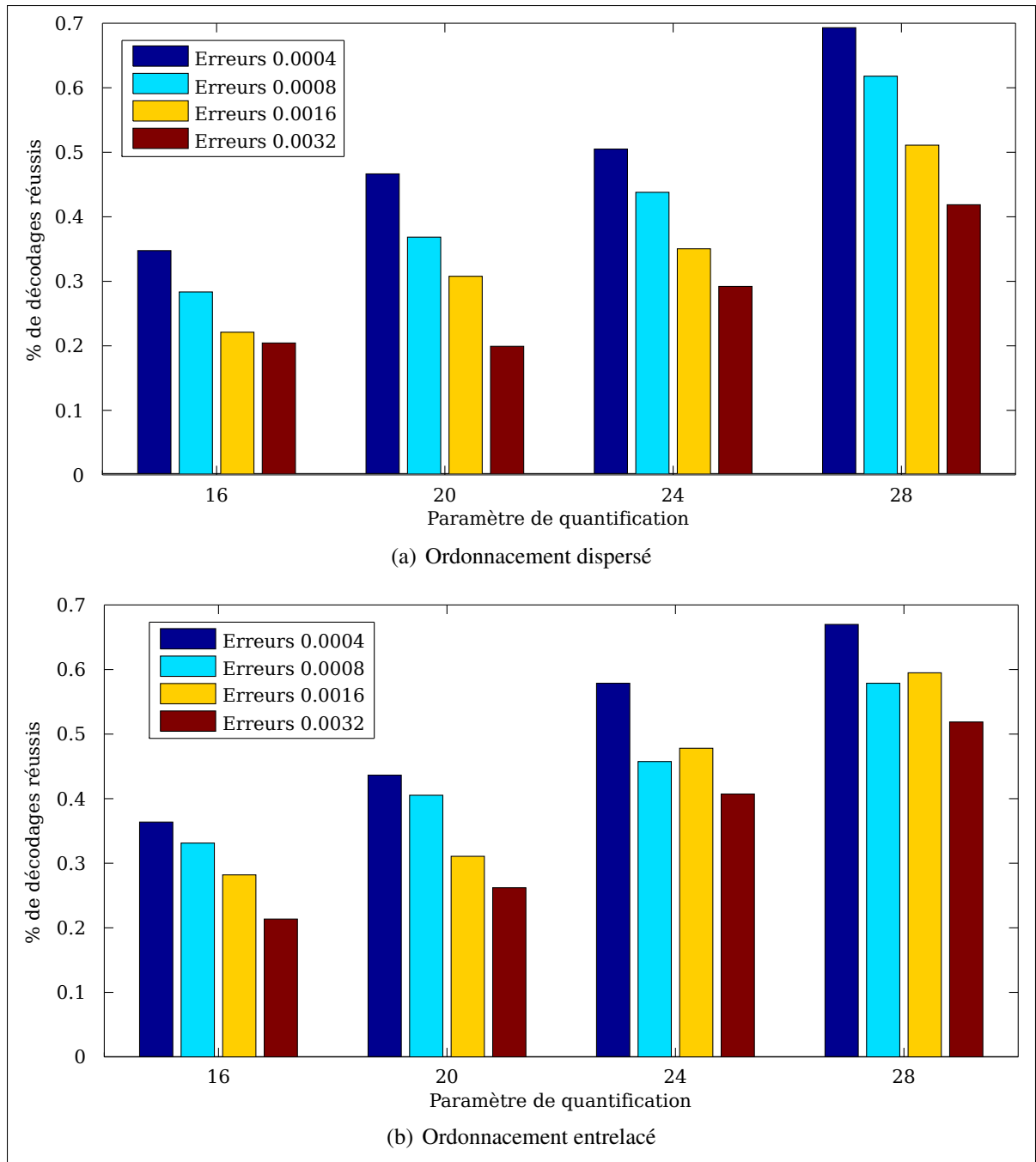
## 1.2 Analyse de la résilience du décodeur

Dans certaines conditions, le décodeur fournit avec le logiciel de référence H.264/AVC JM réussi à décoder des séquences binaires corrompues. Cette découverte, initiatrice de notre effort de recherche, fut réalisée très tôt dans nos expérimentations. Nous définissons un décodage réussi comme : l'opération de décoder une tranche corrompue sans causer de défaillances (*crash*) chez le décodeur, sans pour autant garantir l'intégrité de contenu résultant. En d'autres mots, l'image issue du décodage d'une tranche corrompue va souvent contenir de la dégradation visuelle (voir figures 1.1(b), 1.3(a) et 1.4(a)). Le taux de décodages réussis varie, non seulement selon le taux d'erreur binaire appliqué à la séquence, mais aussi à l'égard du paramètre de quantification (QP) utilisé lors de l'encodage. Ceci s'explique par le fait qu'un QP plus faible requiert plus de bits pour encoder une trame, plus il y a de bits sujets à l'erreur, plus la probabilité de corruption de la trame augmente.

L'histogramme de la figure 1.5 décrit les taux de décodages réussis observés en fonction des paramètres de quantification et taux d'erreurs binaires présents dans notre jeu de tests. Ces taux sont intéressants, car ils confirment que le décodage des données corrompues peut avoir un taux de réussite allant de 20 % à 70 %, selon les conditions. On peut concevoir une stratégie de résilience à l'erreur, où une prochaine génération de décodeurs serait en mesure d'effectuer une tentative de décodage d'une tranche corrompue, dans un environnement contrôlé (possiblement un second décodeur), afin de contrer l'impact d'une défaillance.

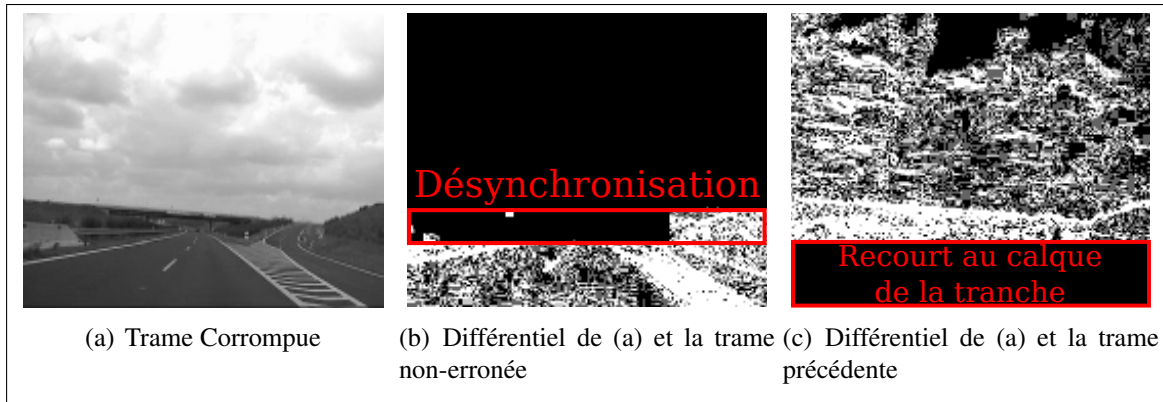
Lors du décodage d'une tranche corrompue, le décodeur inclus dans le logiciel de référence H.264/AVC JM fait la transition entre trois états distincts. Le résultat de ceux-ci est illustré à la figure 1.6. Le premier état est celui du décodage des bits de la tranche corrompue situés avant l'erreur. Cet état est équivalent au décodage normal d'une trame. Il est illustré par la partie supérieure, tout en noir (signifiant l'absence de différence), du différentiel (b) de la figure 1.6.

Par la suite, le décodeur décode le premier bit corrompu. Ceci cause une désynchronisation des codes binaires de l'encodage entropique. Même si les autres bits de la séquence sont valides, la désynchronisation fait en sorte qu'ils sont associés à la mauvaise valeur dans la table de



**Figure 1.5** Histogrammes des pourcentages de décodages réussis en fonction du paramètre de quantification utilisé lors de l'encodage ainsi que du taux d'erreurs binaires (BER).

référence CAVLC. Le décodeur interprète ces mauvaises valeurs ce qui entraîne une dégradation visuelle dans l'image. Cette dégradation peut se manifester fortement comme c'est le



**Figure 1.6** Exemple du comportement du décodeur. En (b), le différentiel de (a), par rapport à la trame encodée, mais non erroné, est utilisé pour démontrer la désynchronisation. Le différentiel entre (a) et la trame précédente permet de démontrer, en (c), l'utilisation du calque de tranche.

cas dans l'image de la figure 1.1(b) ou être presque imperceptible, comme celle dans la figure 1.6(a). Afin de mieux voir la dégradation visuelle de la figure 1.6(a), elle est encadrée à la figure 1.6(b). C'est dans ce second état que le décodeur est le plus vulnérable aux défaillances.

Le second état se termine lorsque le décodeur cesse d'insérer de la dégradation visuelle dans l'image et utilise le contenu provenant de la tranche précédente. Ce changement est illustré en 1.6(c). Ici, on suppose que le décodeur est complètement désynchronisé, il ne sait que faire de ce qu'il décode, il applique donc le contenu des blocs précédents, ce qui, grâce à la corrélation temporelle, est le contenu de remplacement correct, s'il y a absence de mouvement. De plus, notons dans l'image 1.6(a), il y a très peu d'effet de blocs causés par la désynchronisation. Ceci est dû au filtre antiblocs, lorsqu'il est appliqué sur la trame, il va identifier et lisser les effets de blocs. Ceci explique aussi pourquoi, à la figure 1.3(a), l'erreur se répand à la tranche non erronée. Dans ce cas, le filtre antiblocs lisse le bloc erroné, ce qui répand l'erreur dans les blocs avoisinants.

### 1.3 Analyse de l'approche sélective

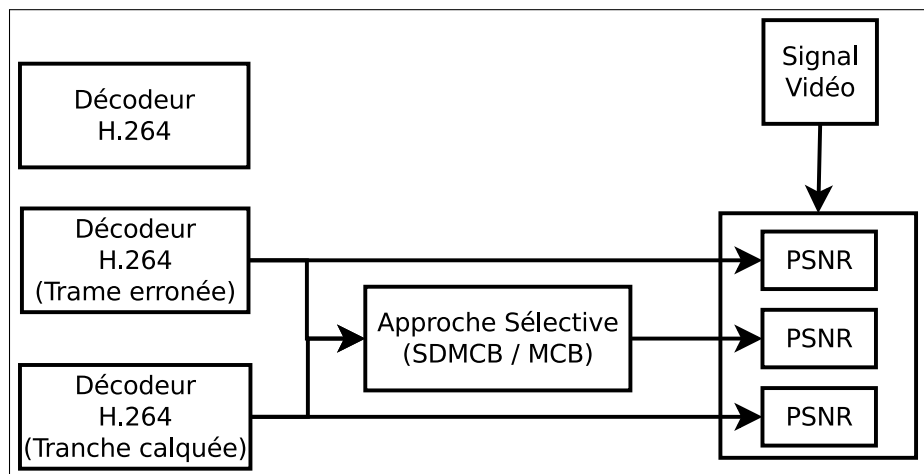
Comme démontré dans la section précédente, l'image résultante de la tranche corrompue peut être décodée, ce qui la rend disponible pour guider un algorithme de dissimulation d'erreur.



Cependant, celle-ci possède, dû à la désynchronisation du décodeur lors du décodage, une certaine dégradation visuelle. Un nouveau type d'algorithme, celui permettant la détection de dégradation visuelle est requis.

L'algorithme de détection basé la mesure des effets de blocs compensés par le mouvement (MCB), présenté dans cet ouvrage, permet la détection d'un type de dégradation visuelle, celui causant des effets de blocs absents de la trame précédente. La prémisse de notre approche sélective est de déterminer entre le calque de la tranche (figure 1.1(c)) et la tranche corrompue (figure 1.1(b)), celui qui produirait la meilleure dissimulation (maximize PSNR). Cette opération peut être accomplie à deux niveaux : celui de la tranche, à l'aide du SDMCB, ou des blocs, avec le MCB. Nous allons tout d'abord présenter la configuration de notre banc de tests pour mesurer l'approche sélective. Par la suite, la sous-section 1.3.1 présente les résultats obtenus avec le SDMCB et les résultats du MCB sont présentés à la sous-section 1.3.2.

**[LT]:** MCB, SDMCB et le PSNR sont présentés dans des sections précédentes.



**Figure 1.7** Partie 2 de la Figure 1.2. Configuration du banc d'essai pour mesurer l'approche sélective basée SDMCB et MCB.

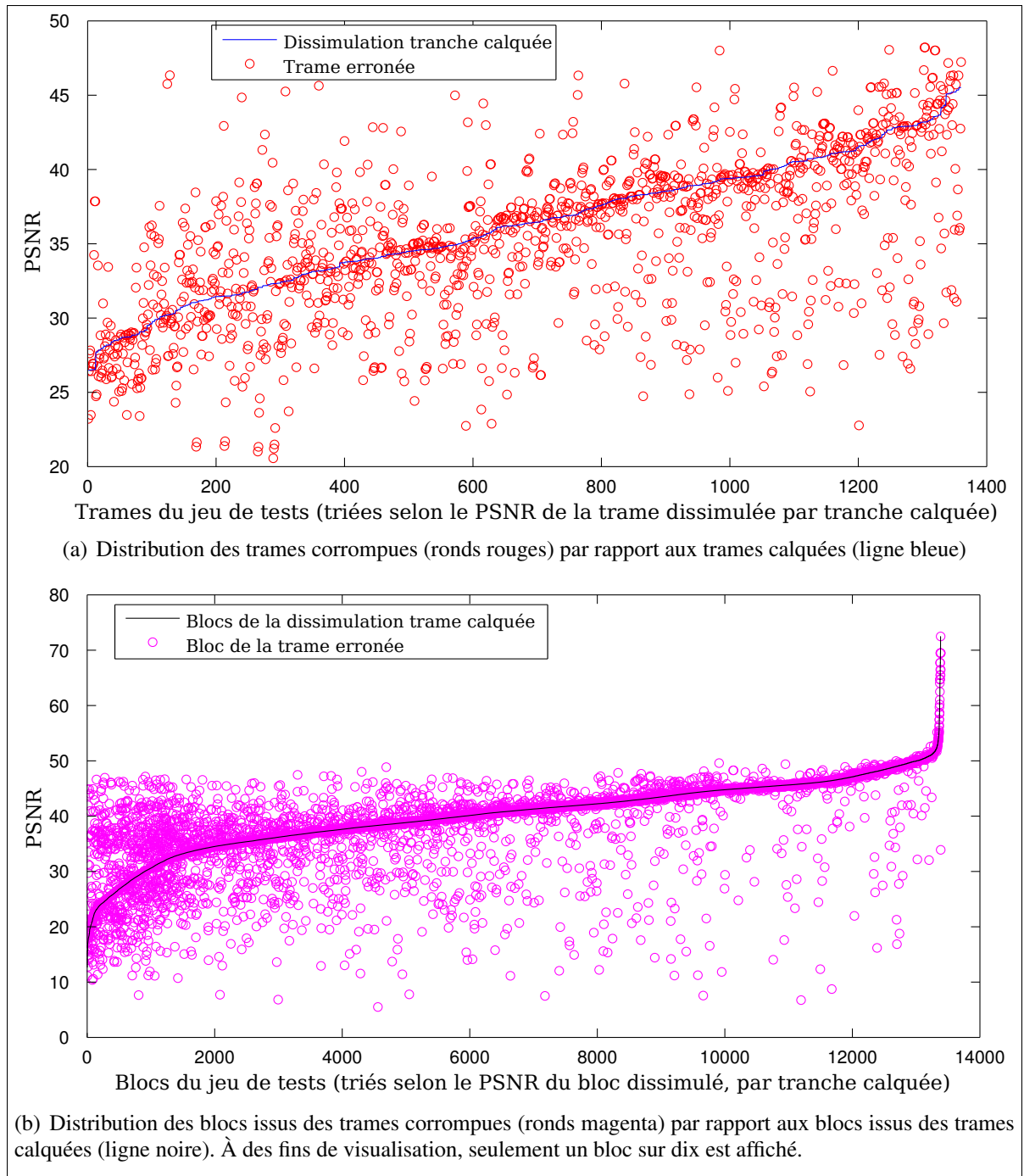
Tout d'abord, à l'aide du PSNR comme discriminant, nous mesurons la distribution des meilleures dissimulations, entre le calque de la tranche et la tranche corrompue. La figure 1.7 démontre la configuration élaborée pour obtenir ces mesures. On y comprend que le PSNR est mesuré par

rapport au signal vidéo de référence et qu'il est mesuré pour : l'image résultante du décodage de la tranche corrompue, le candidat de dissimulation basée sur le calque de la tranche et le résultat des approches sélectives basées sur le SDMCB et MCB.

Les résultats mesurés sont présentés à la figure 1.8. On y aperçoit qu'une importante quantité de trames et blocs erronés qui démontrent un PSNR supérieur aux calques de trames. Ce qui s'explique par le fait, que la dégradation visuelle engendrée par la désynchronisation du décodeur est moins importante que la variation temporelle par rapport à la trame précédente exploitée par le calque de tranche. En lien avec les trois états d'un décodeur décodant une tranche corrompue, nous pouvons conclure que dans l'état 1, la tranche endommagée va produire un meilleur résultat que le calquage de la tranche. Dans l'état 2, la tranche endommagée va produire un résultat inférieur à la tranche calquée. Finalement, à l'état 3, les deux sont équivalents. La proportion de blocs compris dans les états 1 et 2, l'intensité de la dégradation produite par le décodeur ainsi que la variation temporelle par rapport à la trame précédente sont les facteurs qui déterminent laquelle des deux trames sera la meilleure dissimulation.

Plus précisément, les mesures obtenues de notre banc d'essai nous permettent de conclure que l'image résultante du décodage de la tranche corrompue offre un PSNR plus élevé dans 44 % des cas pour l'ordonnancement dispersé et 49 % pour l'entrelacé. Pour ces trames, on observe respectivement des gains moyens de 2.12 dB et 1.68 dB par rapport à leurs équivalentes calquer. Tandis que les blocs issus de trames corrompues sont supérieurs dans 42 % des cas pour l'ordonnancement dispersé et 49 % pour l'entrelacé. Ces blocs produisent, pour les approches d'ordonnancement précédentes, des gains moyens de 1.44 dB et 1.02 dB.

Nous avons démontré, non seulement, qu'il est possible de réussir à décoder des tranches erronées. Mais aussi qu'une quantité importante des images résultantes exhibent une fidélité visuelle supérieure au calque de cette tranche (approche couramment employée par le décodeur fourni avec le logiciel de référence H.264/AVC JM).



**Figure 1.8** Visualisation de la distribution des valeurs du PSNR de la trame erronée et de la dissimulation par tranche calquée.

### 1.3.1 Approche sélective SDMCB

Maintenant, toujours avec la même configuration du banc de test, mesurons l'aptitude du SDMCB à identifier le meilleur candidat entre la trame corrompue et la dissimulation par

tranche calquée. Pour ce faire, nous allons utiliser une taille de bloc  $B = 16$  (vu notre indépendance au train de bits, nous ne connaissons pas la taille exacte des blocs) et un seuil d'effet de bloc  $T_b = 5000$ .

Les résultats obtenus sont présentés à la figure 1.9. La figure 1.9(a) témoigne que l'approche sélective, dans le cadre d'un ordonnancement dispersé, fait le bon choix dans 81 % des cas. Pour ceux-ci, un gain moyen de 1.98 dB est mesuré, tandis que pour l'ensemble de la séquence le gain moyen est de 0.72 dB. Les choix de l'approche sélective offrent un PSNR supérieur aux trames dissimulées par calquage de tranche dans 31 % des cas. Pour la figure 1.9(b), la bonne trame est choisie dans 86 % des cas, résultant dans un gain moyen de 1.24 dB pour celles-ci. Sur l'ensemble des trames, le gain moyen est de 0.65 dB et un PSNR supérieur au calquage de trame est obtenu dans 43 % des cas.

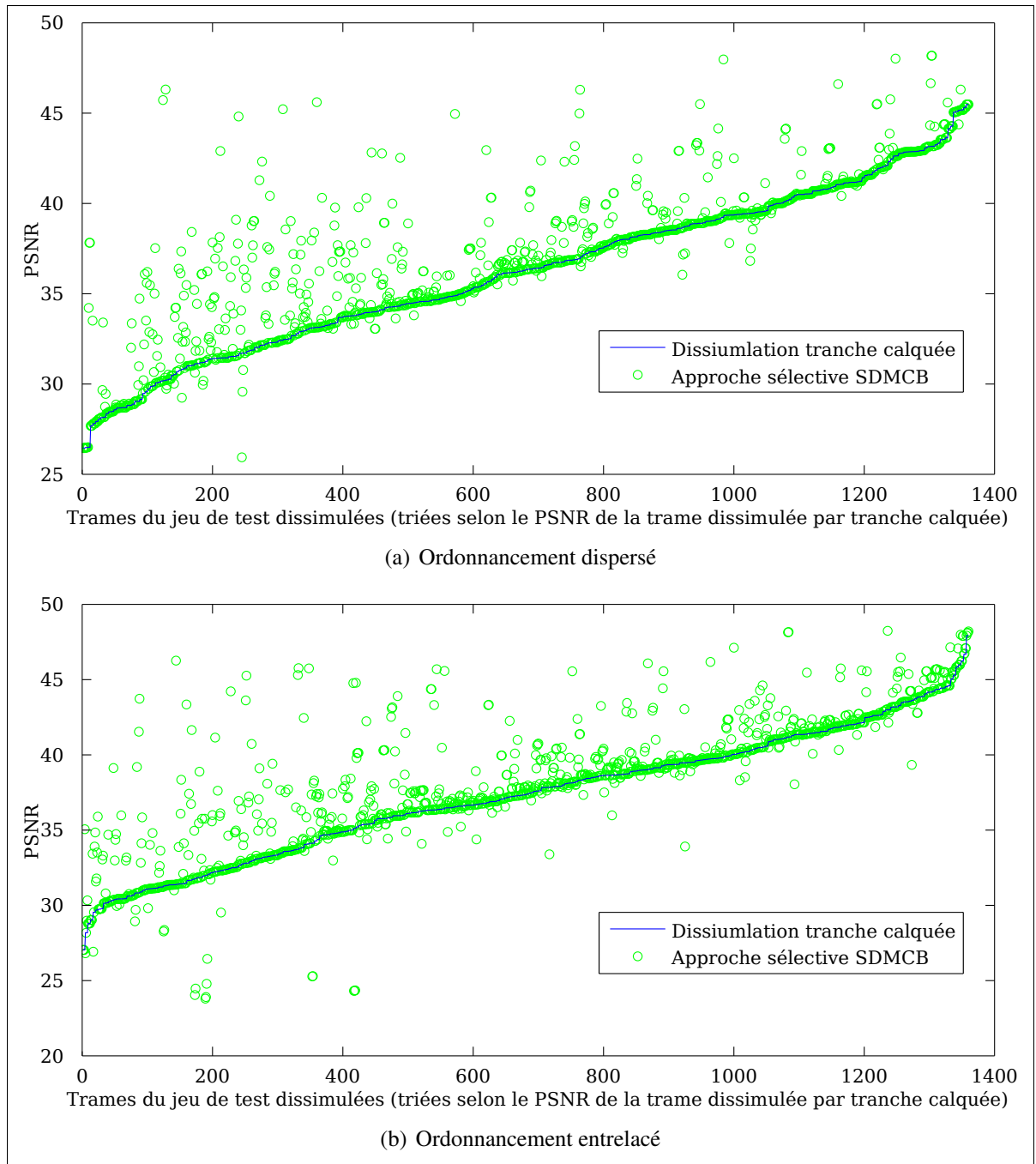
### 1.3.2 Approche sélective MCB

Le niveau de granularité plus fin de l'approche sélective MCB est son attrait principal. En remplaçant uniquement les blocs endommagés, on maximise l'usage des données correctement décodées.

Sans altérer la configuration de notre banc de test, nous mesurons l'aptitude du MCB à identifier le meilleur bloc candidat entre ceux provenant de la trame corrompue et ceux de la dissimulation par tranche calquée. Pour ce faire, nous allons utiliser une taille de bloc  $B = 16$  et un seuil d'effet de bloc  $T_b = 5000$ .

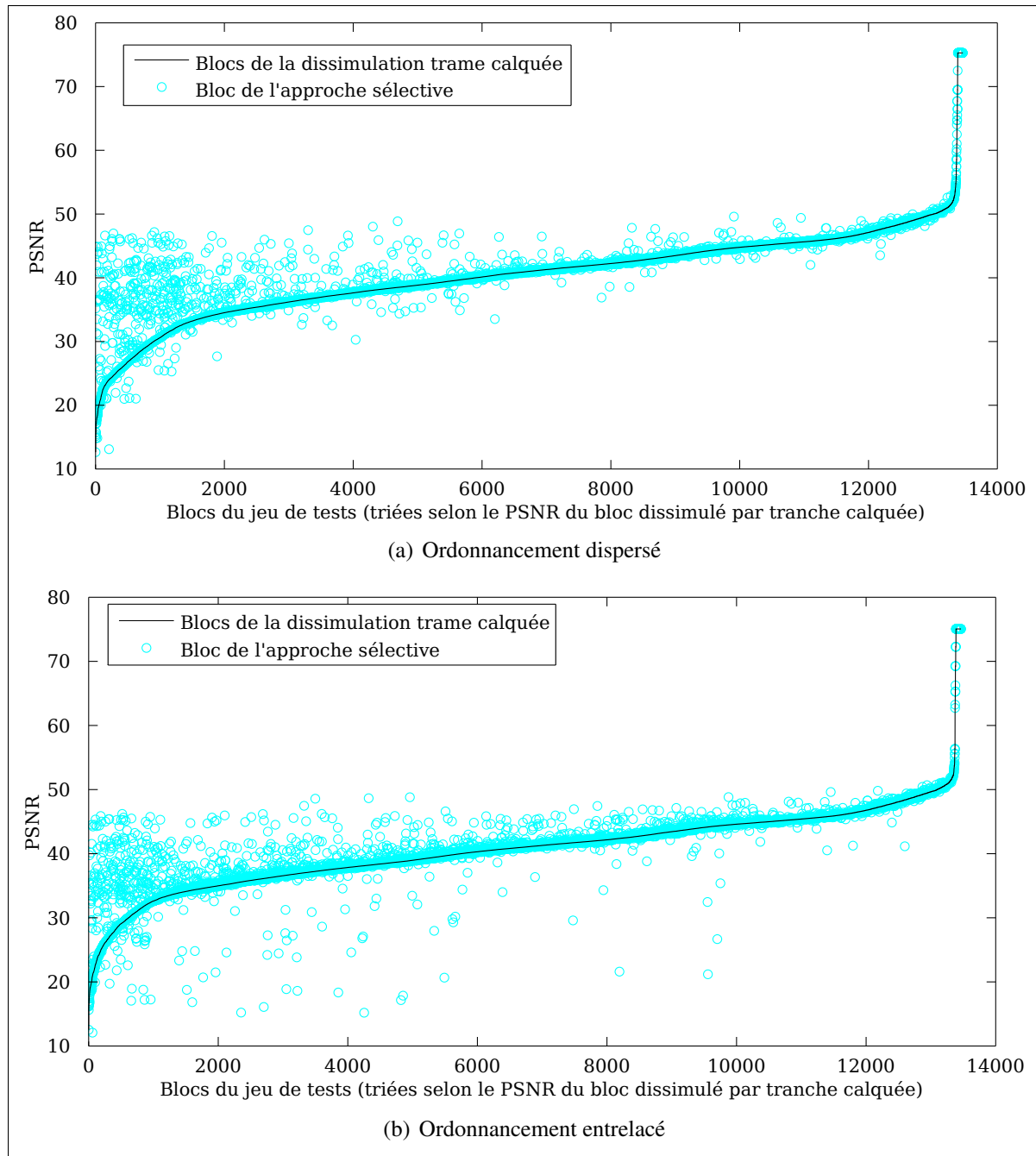
Les résultats obtenus sont présentés à la figure 1.10. La figure 1.10(a) démontre que l'approche sélective MCB choisit le bon bloc dans 88 % de cas. Ce qui produit un gain moyen de 0.86 dB sur l'ensemble des trames avec un ordonnancement de type dispersé. Pour l'ordonnancement entrelacé (figure 1.10(b)), l'approche sélective MCB effectue le bon choix dans 91 % des cas, permettant un gain moyen de 0.69 dB.

À l'aide de la figure 1.11, nous sommes en mesure d'analyser la distribution des PSNR résultants : de la trame erronée, de la dissimulation par tranche calquée et des approches sélectives.



**Figure 1.9** Visualisation de la distribution du PSNR de l'approche sélective basée sur SDMCB (ronds verts) à l'égard de la dissimulation par tranche calquée (ligne bleue).

Cette figure expose la variation du nombre de trames selon des intervalles de 5 dB de PSNR. Ces intervalles s'étalent de 20 dB à 50 dB, permettant ainsi de visualiser la variation de la qualité visuelle issue de chaque approche. Commençons l'analyse en soulignant la présence d'une



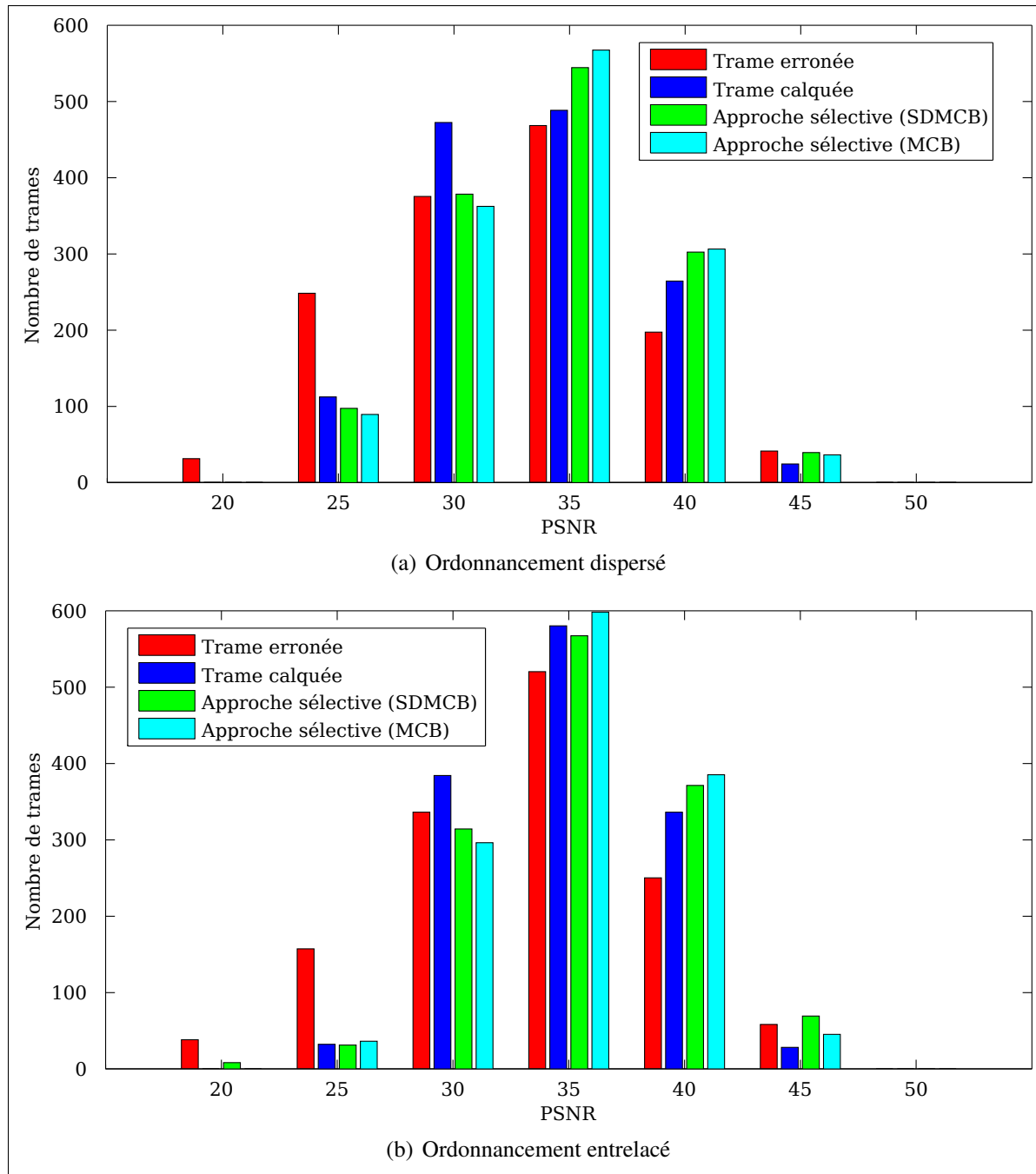
**Figure 1.10** Visualisation de la distribution du PSNR issue des blocs résultants de l'approche sélective basée sur MCB (ronds verts) à l'égard de ceux produits par la dissimulation par tranche calquée (ligne bleue).

importante quantité de trames erronées dans les intervalles de faible qualité, où le PSNR est inférieur à 30 (les intervalles centrés autour de 20 et 25). Pour ces intervalles, nous constatons,

autant dans l'histogramme de la figure 1.11(a) que 1.11(b), que la majorité de ces trames sont dissimulées par le calquage de tranche et les approches sélectives. Poursuivons l'analyse des approches sélectives avec le constat suivant, pour l'intervalle centré autour de 30 dB, le nombre de trames liées aux approches sélectives est inférieur à celui lié à la dissimulation par tranche calquée. Cette observation n'est pas due à une perte de qualité, mais bien à une augmentation de la qualité, car on retrouve ces trames dans les intervalles supérieurs. Pour ces intervalles, les approches sélectives produisent un plus grand nombre de trames que la dissimulation par tranche calquée. Grâce à ces observations, nous sommes en mesure de conclure que les approches sélectives produisent de meilleurs résultats en exploitant les trames erronées de haute qualité visuelle, tout en évitant les trames erronées de mauvaise qualité. En ce qui a trait à la comparaison des approches sélectives, l'approche sélective MCB offre un plus grand nombre de trames de qualité visuelle pour les intervalles de 35 dB et 40 dB vis-à-vis SDMCB. Cependant, cette dernière se reprend dans l'intervalle de 45 dB. Cette reprise est attribuée au fait que le remplacement de blocs sporadique dans une trame peut engendrer une perte de qualité causée par le mauvais arrimage des valeurs de pixels en frontière de bloc. Cette légère dégradation réduit le nombre de trames de très haute qualité.

Tableau 1.1 Résumé du PSNR moyen obtenu par les diverses approches présentées dans cette section.

Approche	PSNR Moyen dispersé (dB)	PSNR Moyen entrelacé (dB)
Encodée (sans erreur)	41.218222	41.200377
Sélective par bloc(avec référence)	37.689039	38.528986
Sélective par tranche(avec référence)	37.117712	38.082769
Sélective MCB	<b>37.034840</b>	<b>37.951004</b>
Sélective SDMCB	<b>36.901414</b>	<b>37.911514</b>
Dissimulation tranche calquée	36.179630	37.263033
Trame corrompue	35.068784	36.075526



**Figure 1.11** Histogrammes des PSNR des trames, avec des intervalles de 5 dB, centrés à chaque incrément de 5 dB, à partir de 20 dB. Les trames considérées sont celles résultantes : du décodage de la trame erronée (rouge), du calquage de tranche (bleu), de l'approche sélective par tranche (vert) ainsi que l'approche sélective par bloc (cyan).



## BIBLIOGRAPHIE

- Arizona State University, December 2010. YUV Video Sequences. URL <http://trace.eas.asu.edu/yuv/>.
- Joint Video Team (JVT) d'ISO/IEC MPEG et ITU-T VCEG, 2010. H.264/AVC JM Reference Software. URL <http://iphone.hhi.de/suehring/tml/>.
- Mantis JVT JM H.264/AVC reference software project, September 2009. 0000189 : Crash in JM 16.1 Decoder. URL <https://ipbt.hhi.fraunhofer.de/mantis/view.php?id=189>.
- Stockhammer, T., Miska M. Hannuksela, et Thomas Wiegand, Juillet 2003. H.264/AVC in wireless environments. *IEEE Transactions on Circuits and Systems for Video Technology*, 13(7) :657–673. ISSN 1051-8215. doi : 10.1109/TCSVT.2003.815167.
- Superiori, L., Olivia Nemethova, et Markus Rupp, November 2007. Detection of visual impairments in the pixel domain of corrupted H.264/AVC packets. *Procs. of the Picture Coding Symposium (PCS 2007), Lisboa, Portugal*, pages 7–9.
- Wenger, S., Juillet 2003. H.264/AVC over IP. *IEEE Transactions on Circuits and Systems for Video Technology*, 13(7) :645–656. ISSN 1051-8215. doi : 10.1109/TCSVT.2003.814966.